

ПАРАМАГНИТНАЯ РЕЛАКСАЦИЯ В ЖИДКИХ РАСТВОРАХ ПРИ ПЕРПЕНДИКУЛЯРНЫХ ПОЛЯХ

Е. Завойский

В 1936 г. Гортером [1, 2] была открыта парамагнитная абсорбция в твердых растворах при перпендикулярных полях (растворы железных и хромовых квасцов в алюминиевых квасцах). Несколько нам известно, до сих пор никто не наблюдал парамагнитную релаксацию в жидких растворах. Ниже приводится исследование парамагнитной абсорбции в жидких растворах некоторых солей марганца.

Метод измерений

В высшей степени точный калориметрический метод измерения абсорбции, разработанный Гортером [1, 2], неприменим для веществ с хорошей электропроводностью, какими являются растворы электролитов. Объясняется это тем, что в таких веществах парамагнитные потери могут составлять ничтожную часть электрических потерь и поэтому лежать в пределах ошибок измерений.

В этой работе был использован чисто электрический метод измерения абсорбции, сводящийся к следующему: генератор высокой частоты на пентоде CO-182, с колебательным контуром в цепи первой и второй сетки, содержит в магнитном поле катушки колебательного контура исследуемый парамагнетик, а в цепи первой сетки многокаскадный усилитель тока с тепловым прибором Вестона на выходе; парамагнетик вместе с катушкой колебательного контура помещен в перпендикулярное высокочастотному постоянное поле электромагнита. При изменении последнего поля меняется парамагнитная абсорбция, а значит и ваттная нагрузка на генератор, что приводит к изменению тока сетки пентода и регистрируется указанным прибором на выходе усилителя. При малых вариациях в ваттной нагрузке на генератор, по сравнению с мощностью самого генератора, строго соблюдается линейная связь между изменением тока сетки и нагрузкой. В условиях описываемых ниже экспериментов эта линейность сохранялась всегда, так как генератор имел мощность порядка 0,1W, а парамагнитные потери не превосходили миллионных долей ватта. Наличие линейности подтверждилось строгой пропорциональностью изменений тока сетки массе данного парамагнетика. Порядок чувствительности установки был $3 \cdot 10^{-9}$ W на деление шкалы. Подробное описание метода измерений будет дано в другой статье. Все приводимые величины абсорбций (χ'') выражены в относительных единицах и там, где указано, сравнимы. Все растворы приготавливались на дважды перегнанной воде и из химически чистых кальбаумовских солей. Весьма существенным при интерпретации результатов наших измерений является наличие остаточного поля электромагнита, равного приблизительно 10 эрстедам при всех измерениях.

Результаты измерений

1. Абсорбция в водных растворах хлористого марганца

Растворы хлористого марганца при комнатной температуре дают яркую картину подавления абсорбции магнитным полем в несколько сот эрстед. На рис. 1 кривая 2 изображает зависимость максимального значения абсорбции χ_m'' на 1 см³ в относительных единицах от концентрации с раствора, выраженной в граммах на 1 см³ раствора (при длине волны, равной 26,3 м). Кривая 1 дает

напряженность постоянного магнитного поля, полностью подавляющего абсорбцию, в функции от концентрации.

На рис. 2 представлена зависимость величины χ_m'' на один атом марганца в растворе в функции от концентрации c при той же длине волны. Эти результаты могут быть сформулированы следующим образом:

1. С увеличением концентрации раствора абсорбция увеличивается медленнее, чем число магнитных атомов в растворе.

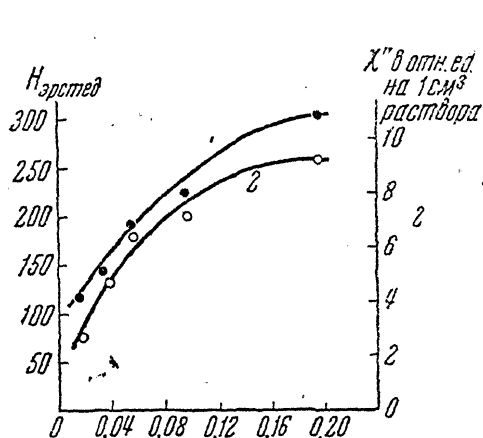


Рис. 1

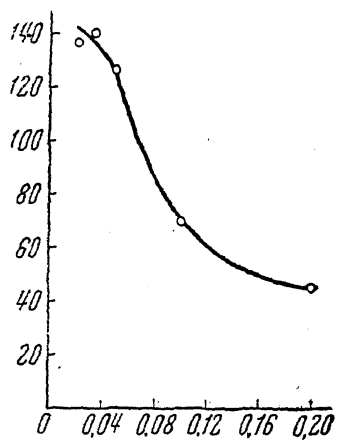


Рис. 2

2. Чем выше концентрация раствора, тем значительнее магнитные поля, полностью подавляющие абсорбцию.

3. С разведением раствора абсорбция на один магнитный атом; при весьма малых концентрациях абсорбция на атом достигает максимума.

Эти выводы с небольшим дополнением будут относиться и к другим растворам солей марганца.

2. Абсорбция в водных растворах сернокислого марганца

На рис. 3 и 4 изображены результаты измерений для водных растворов сернокислого марганца при длине волны 25,0 м. Кривая 2 рис. 3 показывает зависимость χ_m'' в максимуме абсорбции ($H \approx 10$ эрстед), отнесенного к 1 см³.

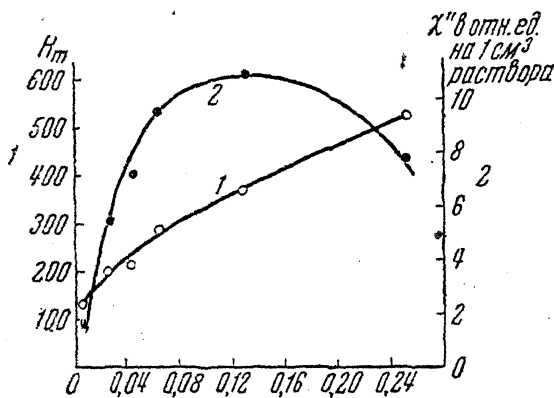


Рис. 3

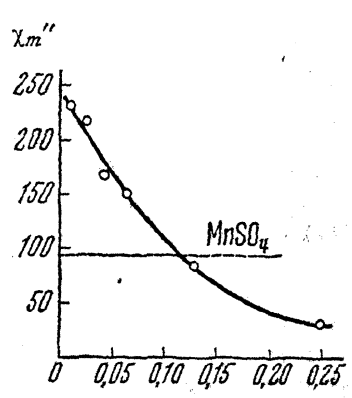


Рис. 4

раствора в относительных единицах, от концентрации c . Как видно, отличие этой кривой от соответствующей кривой для раствора хлористого марганца состоит в спадании χ_m'' в области больших концентраций.

На рис. 4 изображена аналогичная растворам хлористого марганца зависимость χ_m'' на один атом марганца. Здесь также замечается стремление χ_m'' к максимуму в области сильных разведений. Пунктирная прямая на рис. 4 изображает значение χ_m'' на один ион твердой безводной соли сернокислого маргана.

з. жэтф. № 7

ганца. Таким образом в кристаллическом сернокислом марганце абсорбция на один ион равна абсорбции на один атом марганца в растворе концентрации $\sim 0,115 \text{ г}/\text{см}^3$ и приблизительно в два раза меньше, чем в сильно разведенных растворах.

На рис. 5 представлена зависимость напряженности постоянного магнитного поля $H_{1/2}$, наполовину подавляющего абсорбцию, от ее максимального значения в зависимости от концентрации раствора сернокислого марганца при длине волны 25,0 м. Отсюда видно, что разведение очень сильно уменьшает $H_{1/2}$.

3. Абсорбция в водных растворах сернокислого аммония марганца

Для растворов этой соли получены несколько отличные результаты, чем для двух других соединений марганца. Так, с увеличением концентрации линейно растет абсорбция на единицу объема (рис. 6, кривая 2). Так же линейно с концентрацией возрастает напряженность магнитного поля, полностью подав-

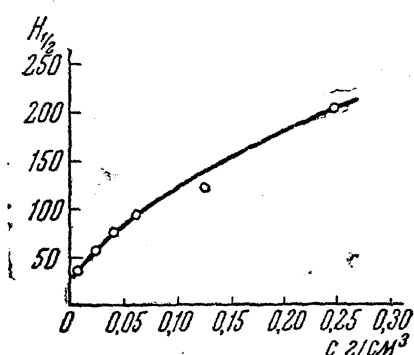


Рис. 5

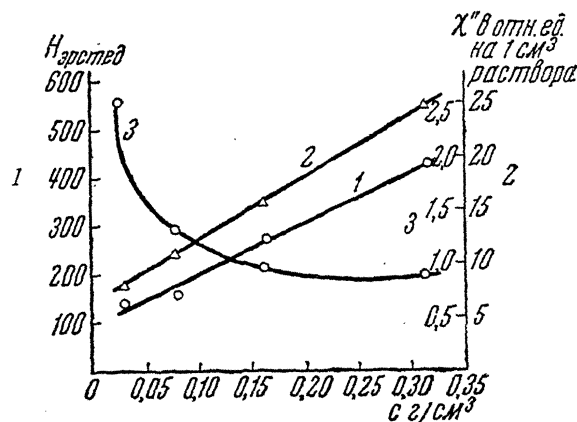


Рис. 6

ляющего абсорбцию (рис. 6, кривая 1). Но увеличение абсорбции на один атом марганца с разведением (рис. 6, кривая 3) вполне аналогично той же зависимости для первых двух солей, рассмотренных выше. Результаты измерений рис. 6 отвечают длине волны 25 м.

4. Сопоставление результатов измерений для разных растворов солей марганца

Казалось бы естественным ожидать уменьшение разницы в свойствах растворов разных солей марганца при увеличении разведения. Это вполне соответствовало бы гипотезе Фаленбраха [3, 4] «газообразного» состояния магнитных ионов при малых концентрациях растворов. Действительно, магнитные поля, полностью подавляющие абсорбцию в растворах разных солей, стремятся к общему пределу при малых эквивалентных концентрациях. Так, на рис. 7 изображены эти поля в функции концентрации ионов марганца, выраженной в граммах на 1 см³ раствора. Здесь кривые 1, 2 и 3 относятся соответственно к растворам хлористого, сернокислого марганца и двойной соли аммония марганца при длине волны 25 м. Кривые указывают на существенную роль, которую играют анионы в концентрированных растворах, так как только их действием можно объяснить весьма различный ход кривых для растворов разных солей. Но представление о газообразном состоянии магнитных ионов становится совершенно непригодным, если рассмотреть абсорбцию на один магнитный атом в растворах с разными анионами. Так, на рис. 8 по оси абсцисс отложены эквимолекулярные концентрации марганца в граммах на 1 см³ раствора, а по оси ординат — абсорбция на атом в относительных единицах, одинаковых для